

МОСКОВСКИЙ ФИЗИКО-ТЕХНИЧЕСКИЙ ИНСТИТУТ

ЛАБОРАТОРНАЯ РАБОТА ПО РАДИОТЕХНИЧЕСКИМ СИГНАЛАМ И ЦЕПЯМ

---

## Пассивные электрические цепи.

---

**Автор:**

Глеб Уваркин

615 группа



26 сентября 2017 г.

## Задание №1. Интегрирующие и дифференцирующие звенья.

### 1.

На макетной плате соберём интегрирующую цепь с постоянной времени  $\tau \simeq 0.1$  мс,  $f_0 = \frac{1}{2\pi\tau} \simeq 1600$  Гц,  $R \simeq 100$  Ом,  $C \simeq 100$  мкФ.

### 2.

Подключим генератор синусоидальных сигналов и осциллограф. Экспериментально оценим верхнюю граничную частоту  $f_0$  по уровню  $\frac{1}{\sqrt{2}} \simeq 0.7 = -3\text{dB}$ .

На частоте 10 Гц двойная амплитуда равна 1.946В.  $1.946 \cdot 0.7 \simeq 1.362\text{В}$ . На частоте 1.3 кГц получаем двойное напряжение 1.353В. Значит,  $f_0 \simeq 1.3\text{кГц}$ .

Измерим значения коэффициента передачи  $K(f)$  на частотах  $f = 2^n f_0, n = [-2, 4]$ .

$$K(f)_{\text{эксп}} = \frac{A_{\text{вых}}}{A_{\text{вх}}},$$

где  $A_{\text{вх}} = 1\text{В}$ -амплитуда входного сигнала.

$$K(f)_{\text{теор}} = \frac{1}{\sqrt{1 + \left(\frac{f}{f_0}\right)^2}}$$

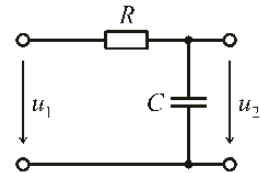


Рис. 1: Интегрирующая цепь.

f, Гц	325	650	1300	2600	5200	10400	20800
$A_{\text{вых}}, \text{мВ}$	1917	1732	1345	866	471	247	125
$K(f)_{\text{эксп}}$	0.96	0.87	0.67	0.43	0.24	0.12	0.06
$K(f)_{\text{теор}}$	0.97	0.89	0.70	0.45	0.24	0.12	0.06

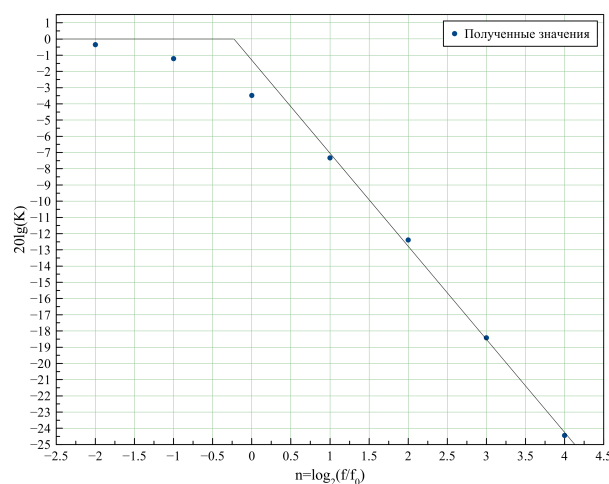


Рис. 2: Граф Боде для интегрирующей цепи.

### 3.

Подключим генератор прямоугольных сигналов. По осциллограмме переходной характеристики оценим постоянную времени  $\tau$ , измерив время нарастания фронта импульса от нуля до уровня  $1 - 1/e \simeq 0.63$ . Получим  $\tau \simeq 130 \text{ мкс}$ .  $f_0 = \frac{1}{2\pi\tau} \simeq 1.2 \text{ кГц} \simeq 1.3 \text{ кГц}$  - рассчитанная частота  $f_0$  совпадает с полученной экспериментально, значит равенство  $f_0 = \frac{1}{2\pi\tau}$  верно.

### 4.

Превратим интегрирующую цепь в дифференцирующую. Оценим нижнюю граничную частоту  $f_0$  по уровню  $\simeq 0.7 = -3 \text{ dB}$ . На частоте  $3.03 \text{ МГц}$  двойная амплитуда равна  $1.309 \text{ В}$ .  $1.309 \cdot 0.7 \simeq 0.92 \text{ В}$ . На частоте  $1.3 \text{ кГц}$  получаем двойную амплитуда  $0.95 \simeq 0.92$ . Значит,  $f_0 \simeq 1.3 \text{ кГц}$ .

Измерим значения коэффициента передачи  $K(f)$  на частотах  $f = 2^n f_0, n = [-4, 2]$ .

$$K(f)_{\text{эксп}} = \frac{A_{\text{вых}}}{A_{\text{вх}}}, \quad K(f)_{\text{теор}} = \frac{1}{\sqrt{1 + \left(\frac{f}{f_0}\right)^{-2}}}.$$

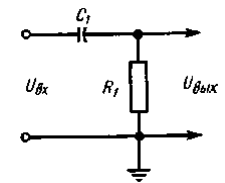


Рис. 3: Дифференцирующая цепь.

f, Гц	87.5	163	325	650	1300	2600	5200
$2A_{\text{вых}}, \text{ мВ}$	92.5	177	346	621	952	1178	1280
$K(f)_{\text{эксп}}$	0.05	0.10	0.22	0.42	0.68	0.88	0.95
$K(f)_{\text{теор}}$	0.07	0.12	0.24	0.45	0.71	0.89	0.97

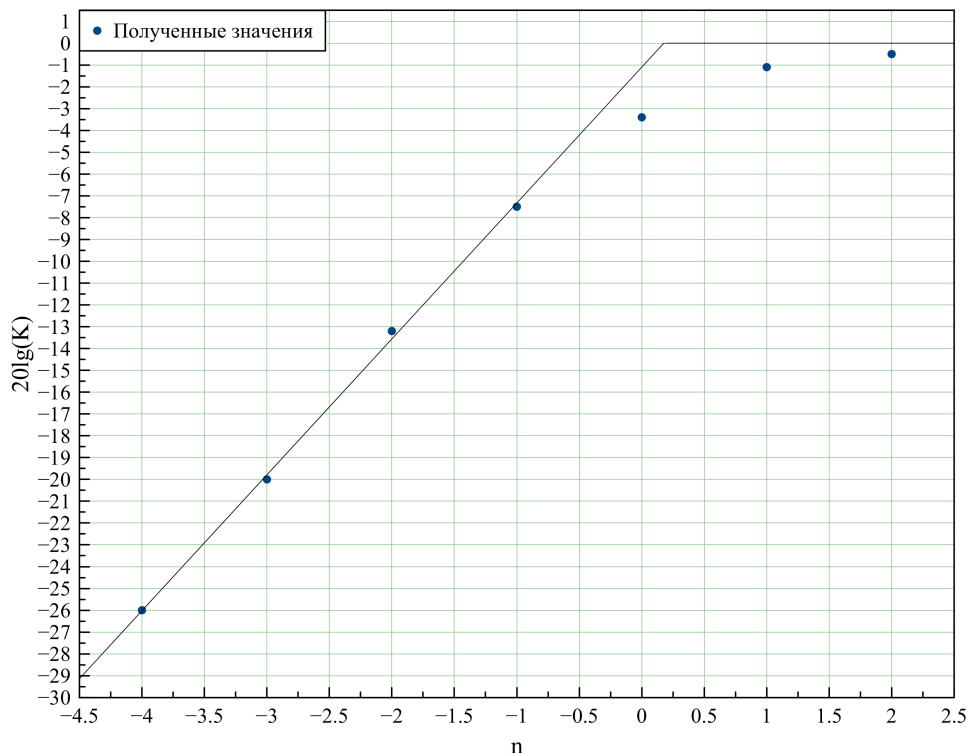


Рис. 4: Граф Бode для дифференцирующей цепи.

По осциллограмме переходной характеристики оценим постоянную времени  $\tau$ , измерив время спада вершины импульса от нуля до уровня  $1/e \simeq 0.37$ . Получим  $\tau \simeq 125 \mu\text{с}$ .  $f_0 = \frac{1}{2\pi\tau} \simeq 1.27 \text{кГц} \simeq 1.3 \text{кГц}$ . Теоретическое значение  $f_0$  совпадает с экспериментальным - формула  $f_0 = \frac{1}{2\pi\tau}$  верна.

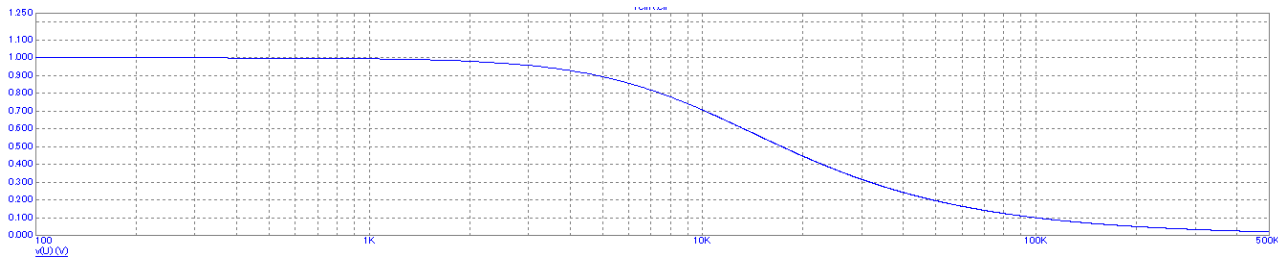
## 5.

В MicroCap откроем модель **rcint.cir**. Изучим графики частотной и фазовой характеристик интегрирующей цепи. Оценим ее верхнюю частоту. Получим  $f_0 \simeq 10 \text{кГц}$ . Изучим переходную характеристику. По графику оценим постоянную времени. Получим  $\tau \simeq 15.903 \mu\text{с}$ . Убедимся в том, что при наличии сопротивления  $R_L$  передаточная функция цепи принимает вид:

$$H(p) = \frac{K_0}{1 + p\tau}, \quad K_0 = \frac{R_L}{R + R_L}, \quad \tau = (R \parallel R_L)C.$$

$$K_0 \simeq 1, \quad \tau \simeq 0.1 \text{мс}, \quad H(p) = \frac{K_0(1 - p\tau)}{1 - p^2\tau^2} = \frac{K_0(1 - jw\tau)}{1 + w^2\tau^2} = \frac{1}{1 + \omega^2 \cdot 10^{-8}} - j \frac{\omega \cdot 10^{-4}}{1 + \omega^2 \cdot 10^{-8}}$$

Изобразим график  $|H(p)|(\omega)$ .



## 6.

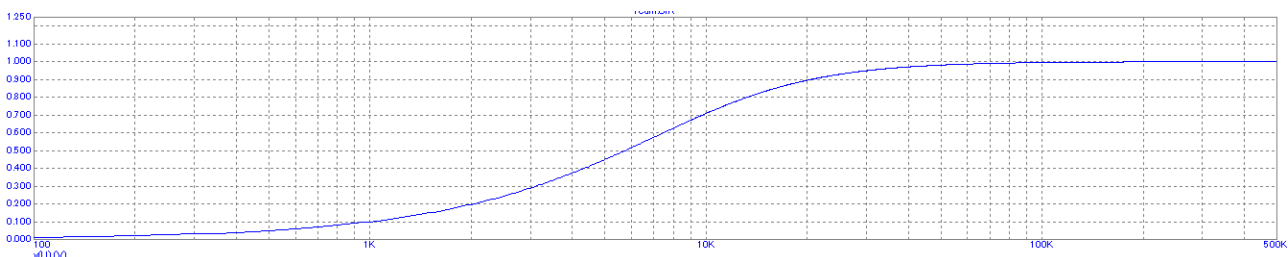
Откроем модель **rcdiff.cir**. Изучим частотную и фазовую характеристики дифференцирующей цепи, оценим ее нижнюю частоту. Получим  $f_0 \simeq 10 \text{кГц}$ . Изучим переходную характеристику. По графику оценим постоянную времени. Получим  $\tau \simeq 15.9 \mu\text{с}$ . Проанализируем влияние резистора  $R_S$ , задав его варьирование  $R_S = [0, 10k|10k]$ . При увеличении  $R_S$  увеличивается время спада вершины импульса, и уменьшается минимальное значение амплитуды.

Убедимся, что при наличии  $R_S \neq 0$  передаточная функция принимает вид

$$H(p) = \frac{K_0 p \tau}{1 + p\tau}, \quad K_0 = \frac{R}{R + R_S}, \quad \tau = (R + R_S)C$$

$$K_0 \simeq 1, \quad \tau \simeq 0.1 \text{мс}, \quad H(p) = \frac{K_0 p \tau (1 - p\tau)}{1 - p^2\tau^2} = \frac{-K_0 p^2 \tau^2}{1 - p^2\tau^2} + \frac{K_0 p \tau}{1 - p^2\tau^2} = \frac{\omega^2 \cdot 10^{-8}}{1 + \omega^2 \cdot 10^{-8}} + j \frac{\omega \cdot 10^{-4}}{1 + \omega^2 \cdot 10^{-8}}$$

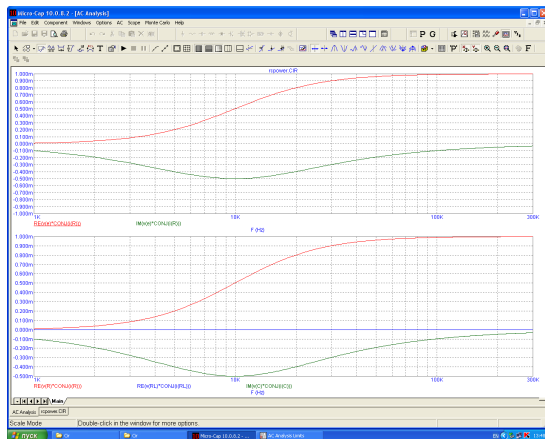
Изобразим график  $|H(p)|(\omega)$ .



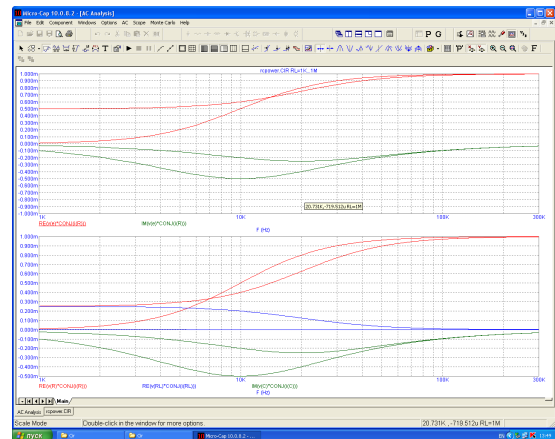
## 7.

Откроем модель **rcpower.cir**. Изучим графики частотной зависимости потребляемых интегрирующей цепью активной и реактивной мощностей и графики мощностей на ее компонентах.

Проверим выполнение закона сложения мощностей на граничной частоте  $f_0 = 10\text{к}$ . Закон сложения мощностей выполняется, так как активная мощность, потребляемая цепью, равна мощности активного сопротивления  $R : W \simeq 0.5\text{мВт}$ , а реактивная - конденсатора  $C : W \simeq -0.5\text{мВт}$ . Подключая и отключая резистор  $R_L$  варьированием  $[1\text{k}, 1\text{Meg}|1\text{Meg}]$ . Изучим его влияние на распределение мощностей в схеме при  $f = f_0$ . При уменьшении  $R_L$  до  $1\text{k}$  при  $f_0$  его полная мощность возрастает до  $0.2\text{ мВт}$ , мощность на  $R$  падает до  $0.4\text{ мВт}$ , а реактивная мощность конденсатора становится равной  $-0.2\text{ мВт}$ .



а) режим АС.



б) Варьирование  $R_L$ .

## Задание 2. RC-звенья второго порядка.

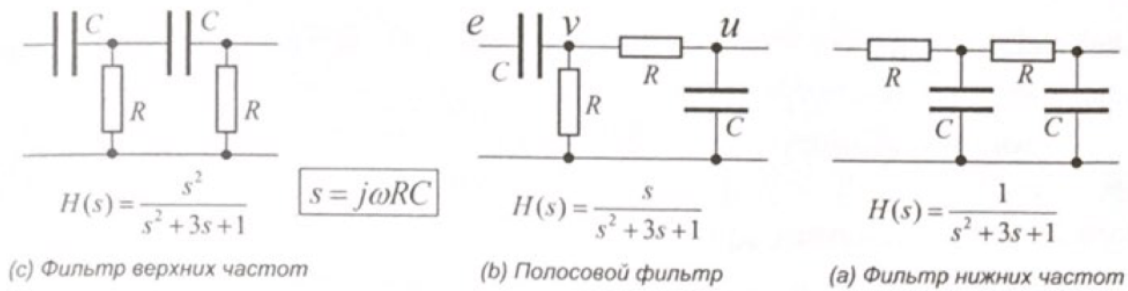


Рис. 5: Три варианта звеньев второго порядка.

### 1.

Откроем модель **rc2pole.cir**. По графикам АЧХ и ФЧХ определим затухание на частоте  $f_0 = \frac{1}{2\pi RC} = 9.948$  кГц, которое составила 9.51 dB и скорость его нарастания в полосах задержания  $-40.69 + 9.5 = -31.18$  dB/декаду. По графикам ФЧХ измерим значения фазовых сдвигов ФВЧ, ПФ и ФНЧ на частотах 0,  $f_0$ ,  $\infty$ .

Таблица 1: Значения фазовых сдвигов

	ФВЧ	ПФ	ФНЧ
0	180	90	0
$f_0$	90	0	-90
$\infty$	0	-90	-180

Двухсторонняя полоса  $\Delta f$  пропускания ПФ = 30 кГц, что в три раза больше  $f_0$ . Это сходится с теорией.

### 2.

Открыв графики переходных характеристик, оценим время спада  $\tau_-$  первого выброса переходной характеристики ФВЧ до уровня  $e^{-1}$  и время  $\tau_+$  нарастания фронта переходной характеристики ФНЧ до уровня  $1 - e^{-1}$ .

$$\tau_+ = 47.33 \text{ мс}, \tau_- = 3.67 \text{ мс} \rightarrow \frac{\tau_+}{\tau_-} = 12.89$$

## Задание №3. Мостовые схемы.

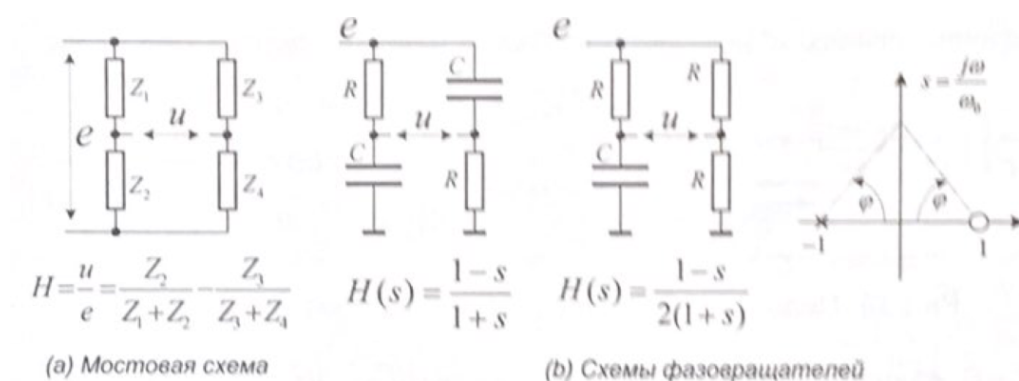


Рис. 6: Мостовые схемы.

1.

Откроем модель фазовращателя. На частоте  $f = 25$  кГц реализуется наибольший диапазон перестройки фазы при варьировании  $R = [1k, 15k|2k]$ , границы этого диапазона  $\varphi = [-150, 73^\circ; -28.54^\circ]$ .

2.

Откроем модель двойного Т-моста. Изучим его частотную и фазовую характеристики. Измерим ширину полосы режекции  $\Delta f = 41.75k - 2.37k = 39.38k \simeq 4f_0$ . Изучим поведение характеристик при варьировании  $R = [3k, 7k|1k]$  и  $[4.8, 5.2k|0.1k]$ . При росте  $R$   $f_0$  падает, при  $R = 5k$  наблюдается скачок на ФЧХ.

3.

Подключим ко входу источник прямоугольного импульса и проанализируем переходную характеристику. Оценим время спада  $\tau_- = 3.9$  мкс и нарастание  $\tau_+ = 59$  мкс, что совпадает с теорией  $\tau_+ = \frac{1}{2\pi f_0 \mu_{\pm}}$ ,  $\mu_{\pm} = 2 \pm \sqrt{3}$ . Варьирование  $R = [3k, 7k|2k]$  приводит к усреднению функции.

4.

Оценим частоты  $f_0$  и добротность  $Q = \frac{f_0}{\Delta f}$  нулей передачи при  $R = [4.9k, 5.1k|0.3k]$

$R$ , кОм	4.9	5	5.1
$f_0$ , кГц	10.05	10	9.95
$\Delta f$ , кГц	0.1	0.001	0.1
$Q$	100.5	1000	99.5

Подключим источник  $E_1$  двухчастотного сигнала  $\sin 2\pi(f-df)t + \sin 2\pi(f+df)t$ ,  $df = 25$ . Измерим  $\tau_g$ :

$$R = 4.9k, \quad f = 10.05k \Rightarrow \tau_g = 3 \text{ мс}; \quad \tau_{g \text{ теор.}} = \frac{Q}{\pi f} = 3.18 \text{ мс}$$

$$R = 5.1k, \quad f = 9.95k \Rightarrow \tau_g = 3 \text{ мс}; \quad \tau_{g \text{ теор.}} = \frac{Q}{\pi f} = 3.18 \text{ мс}$$

## Задание №4. Последовательный резонанс.

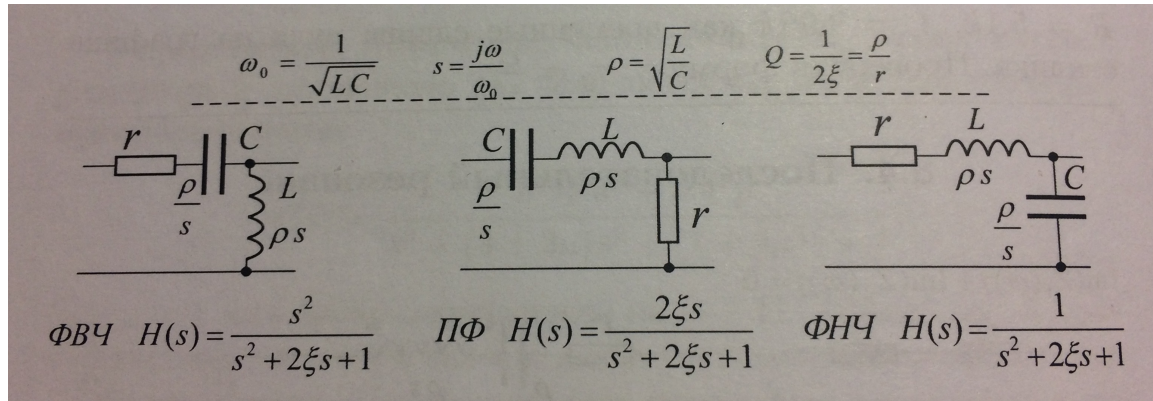


Рис. 7: Двухполюсные резонансы.

### 1.

На макетной плате соберём схему полосового фильтра, выбрав  $L \sim 200\mu$ ,  $C \sim 1000p$ ,  $r \sim 90$  ( $f_0 \sim 360k$ ,  $\rho \sim 450$ ,  $Q \sim 5$ ). Подключив генератор синусоидального сигнала, измерим резонансную частоту  $f_0 \simeq 364k$ , коэффициент передачи  $K(f_0) \simeq 1.103$  и ширину  $\Delta f$  пика по уровню  $0.7 = -3dB$ :  $\Delta f = 431 - 307 = 124k$ . Оценим добротность как  $Q = f_0/\Delta f = 364/124 \simeq 2.94$ .

### 2.

Из тех же компонент соберём схемы фильтров верхних (ФВЧ) и нижних (ФНЧ) частот. Измерим отношения  $K(f_0)/K(0) \simeq 5.778/1.769 \simeq 3.27$  для ФНЧ и  $K(f_0)/K(\infty) \simeq 5.91/1.618 \simeq 3.65$  для ФВЧ.

### 3.

Подключив генератор прямоугольных импульсов, изучим переходные характеристики ФВЧ, ПФ, и ФНЧ. Прикинув по осциллограммам период колебаний и время их затухания до уровня  $1/e = 0.37$ , дадим оценку резонансной частоты  $f_0$  и добротности  $Q$ .

Вид схемы	$T$ , мкс	$\tau$ , мкс	$f_0$ , кГц	$Q$
ФВЧ	2.40	2.84	366	7.1
ФНЧ	3.29	2.62	392	4.9
ПФ	2.81	2.83	366	6.1

$$\xi = \frac{1}{\omega_0 T} = \frac{2\pi}{f_0 T}; \quad \sqrt{1 - \xi^2} = \frac{2\pi}{\omega_0 \tau} \Rightarrow 1 - \frac{1}{\omega_0^2 T^2} = \frac{4\pi^2}{\omega_0^2 \tau^2}$$

$$\omega_0 = \sqrt{\frac{4\pi^2}{\tau^2} + \frac{1}{T^2}} \Rightarrow f_0 = \sqrt{\frac{1}{\tau^2} + \frac{1}{4\pi^2 T^2}}$$

### 4.

Откроем в MicroCap модель **rlc2pole.cir**, изучим частотные фазовые и переходные характеристики фильтров. Сравним результаты моделирования с экспериментом.



## 5.

Откроем модель **groupdel.cir** полосового фильтра с  $f_0 = 100k$ ,  $\rho = 2k$ . Наблюдая в режиме Transient отклик на двухчастотный сигнал  $\sin 2\pi(f - df)t + \sin 2\pi(f + df)t$ , изучим зависимость групповой задержки  $\tau_g$  от  $R = 10, 20, 40, 100..$  Сравним результаты с теорией:

$$\tau_g = -\frac{d\phi}{d\omega} = \frac{Q}{\pi f_0}.$$

R, Ом	10	20	40	100
$\tau_g$ , мс	0.65	0.30	0.15	0.06
$\tau_{\text{теор}}$ , мс	0.64	0.32	0.16	0.06
Q	200	100	50	20

## 6.

Откроем модель **lcpower.cir**, изучим графики распределения мощностей в резонансной LRC-цепи. Проверим выполнение закона суммирования мощностей на частоте резонанса и на границах полосы пропускания:

На частоте резонанса ( $f_0 = 250k$ ).

$$P_L = 177.143m, P_C = -178.571m, P_R = 18.571m \Rightarrow \sum P \simeq 17.14m.$$

На границах полосы пропускания:  $f_1 = 238k, f_2 = 262k$ .

$$f_1: P_L = 85.06m, P_C = -87.83m, P_R = 9.36m \Rightarrow \sum P \simeq 6.59m$$

$$f_2: P_L = 88.71m, P_C = -89.54m, P_R = 8.75m \Rightarrow \sum P \simeq 7.92m.$$

Закон суммирования выполняется.

## Задание №5. Параллельный перенос.

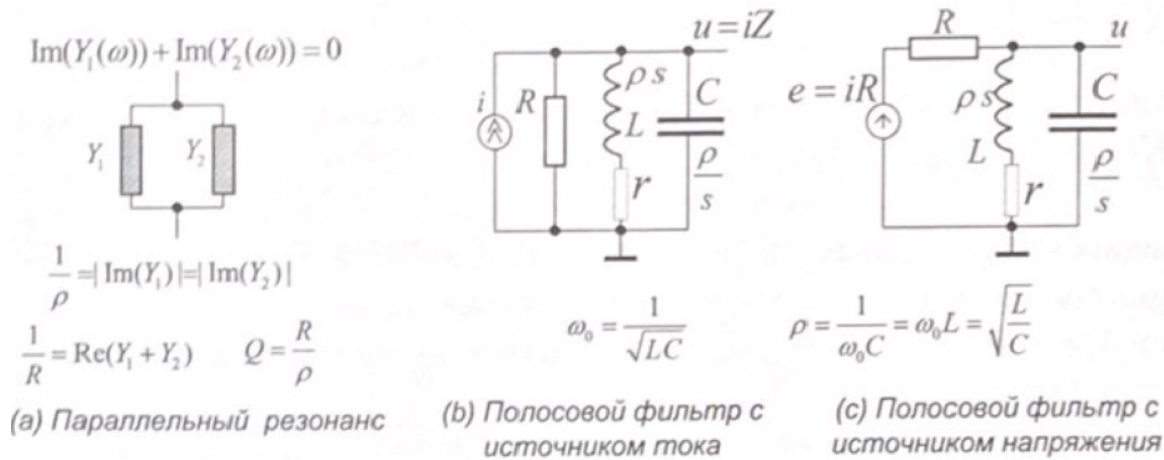


Рис. 8: Явление параллельного резонанса.

1.

Откроем в MicroCap модель **parallel.cir** параллельного контура с  $f_0 = 100\text{кГц}$ ,  $Q = 570$ . По схеме оценим параметры  $\alpha = \frac{\rho}{R_0}$ ,  $\beta = \frac{R}{\rho}$ ,  $Q = \frac{1}{\alpha + \beta}$ , где  $\rho = \sqrt{\frac{L}{C}} = \sqrt{\frac{905 \cdot 10^{-6}}{2800 \cdot 10^{-12}}} \simeq 569$  Ом. Получаем  $\alpha = \frac{569}{10000} \simeq 0.057$ ,  $\beta = \frac{32}{569} \simeq 0.056$ ,  $Q = \frac{1}{0.057 + 0.056} \simeq 8.85$ .

2.

Измерим сопротивление контура  $R_0$  на резонансной частоте и полосу  $\Delta f$  пропускания по уровню  $0.7 = -3\text{дБ}$ . Получаем  $R_0 \simeq 5\text{кОм}$ ,  $\Delta f \simeq 11.15\text{кГц}$ . Оценим его добротность как  $Q = \frac{R_0}{\rho} = \frac{5000}{569} \simeq 8.79$  и  $Q = \frac{f_0}{\Delta f} = \frac{100000}{11150} \simeq 8.9$

3.

Изучим влияние на добротность последовательных потерь  $R$ , установив варьирование  $R = [0, 32|32]$ . Измерим добротность при  $R = 0$ :  $Q = \frac{100000}{5775} \simeq 17.3$ .

Изучим влияние параллельных потерь  $R_0$ , установив варьирование  $R_0 = [10\text{к}, 1000\text{к}|1000\text{к}]$ . Измерим добротность при  $R_0 = 1000\text{кОм}$ :  $Q = \frac{100000}{5658} \simeq 17.7$ . Оценим вклады каждого из резисторов  $R$ ,  $R_0$  в затухание  $\frac{1}{Q}$ . При увеличении  $R$  от 0 Ом до 32 Ом, затухание меняется с 0.057 на 0.116. При увеличении  $R_0$  от 10 кОм до 1000 кОм затухание меняется с 0.114 на 0.056.

4.

Изучим зависимость частоты параллельного резонанса от  $R = [0, 150|50]$ . Частоту резонанса измерим по пересечению нуля фазовой характеристикой. Проверим формулу  $f = f_0 \sqrt{1 - \beta^2}$ .

Таблица 2: Подтверждение формулы  $f = f_0 \sqrt{1 - \beta^2}$ .

R, Ом	0	50	100	150
$f_{\text{эксп}}$	100.0	99.6	98.4	96.5
$\beta$	0.00	0.14	0.18	0.26
$f_{\text{теор}}$	100.0	99.0	98.4	96.6

## 5.

Исследуем влияние последовательности потерь в области низких частот. Для этого установим частотный диапазон от 1к до 130к и будем варьировать  $R = [0, 20|2]$ . Получим, что при сопротивлении  $R = 12$  Ом фазовый сдвиг на частоте 2к составляет  $\pi/4$ .

## Задание №6. Смешанные резонансы.

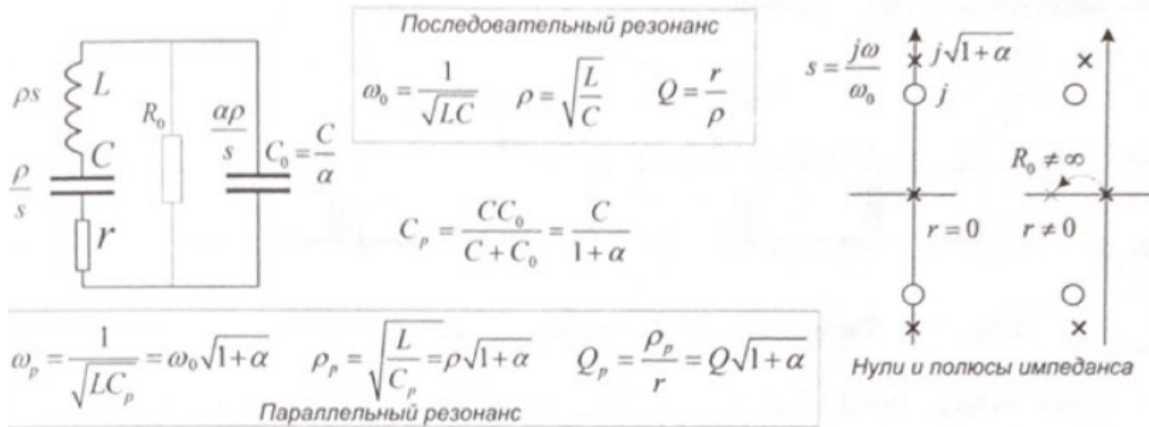


Рис. 9: Контур со смешанным резонансом.

1.

Откроем модель **combined.cir** с  $f_0 = 100k$ ,  $\rho = 15.9k$ ,  $Q \simeq 10$ ,  $\alpha = 1$ . Изучим графики частотной и фазовой характеристик, а также графики частотных зависимостей вещественной и мнимой частей импеданса.

2.

Измерим частоты  $f_p, f_0$  последовательного и параллельного резонансов по точкам пересечения нуля фазовой характеристикой. Имеем  $f_0 \simeq 100.5k$ ,  $f_p \simeq 140.6k$ . Измерим полюсы  $\Delta f_p, \Delta f_0$ , в которых фазовая характеристика изменяется в диапазоне  $\pm 45$  в окрестностях резонансов. Имеем  $\Delta f_p \simeq 10.7k$ ,  $\Delta f_0 = 10.4k$ . Рассчитаем добротность  $Q_p = \frac{f_p}{\Delta f_p} = \frac{140.6k}{10.7k} \simeq 13.1$ ,  $Q = \frac{f_0}{\Delta f_0} = \frac{100.5k}{10.4k} \simeq 9.66$ . Проверим, что  $f_p = f_0 \sqrt{2}$ :  $140.6k \simeq 141.4k$  и  $Q_p = Q \sqrt{2}$ :  $13.1 \simeq 13.7$ .

3.

Измерим сопротивление контура на частотах последовательного и параллельного резонансов, сравним результаты с теоретическими значениями:  $r, k^2 \rho_p Q_p$ .

$$r_{\text{эксп}} = 1.57k \simeq 1.59k = r_{\text{теор}}$$

$$(k^2 \rho_p Q_p)_{\text{эксп}} = 78k \simeq 79k = \left( \frac{\alpha}{1 + \alpha} \right)^2 \sqrt{\frac{L}{C}} (1 + \alpha) \frac{r}{\rho} = (k^2 \rho_p Q_p)_{\text{теор}}$$

Снимем зависимости сопротивления на частоте параллельного резонанса от  $R = [500 : 2000 | 500]$  и ёмкости  $C_0 = [100p, 300p | 100p]$ . Сопоставим их с теорией. Осмыслим характер изменения графиков при варьировании  $R$  и  $C_0$ .

Таблица 3: Варьирование  $R$ .

R, Ом	500	1000	1500	2000
Z, кОм	220	121	82	63

$$Z \sim \frac{1}{R}$$

Таблица 4: Варьирование  $C_0$ .

$C_0$ , пФ	100	200	300
$Z$ , кОм	68.6	26.3	14.3

$$Z \sim \frac{1}{C_0^2}.$$

#### 4.

Обнулим последовательности потери  $r$  и варьированием  $R_0 = [10k, 100k | 10k]$  подберём сопротивление параллельных потерь так, чтобы достичь того же резонансного сопротивления что и при  $r = 1590$ . Получим  $R_0 = 80k$ . Проверим закон пересчёта:  $R_0 r = k^2 \rho_p^2$ .  $80000 \cdot 1590 \simeq \left(\frac{1}{2}\right)^2 \cdot (15900)^2 \cdot 2$  - соотношение выполняется.

#### 5.

Варьируя  $R_0 = [80k, 10Meg | 10Meg]$  при  $r = 1590$ , изучим влияние  $R_0$  на поведение частотной и фазовой характеристик на низких частотах - в диапазоне 1к, 180к. При увеличении  $R_0$  частотная характеристика увеличивается, а фазовая уменьшается.